



В00000053 16404

57.659



ОРДЕН ТРУДОВОГО КРАСНОГО ЗНАМЕНИ  
ИНСТИТУТ ФИЗИКИ  
АКАДЕМИИ НАУК БЕЛОРУССКОЙ ССР

Б.В.Бокутъ, Н.А.Хилло, П.А.Хилло

ГЕНЕРАЦИЯ ВТОРОЙ ОПТИЧЕСКОЙ ГАРМОНИКИ ПРИ  
ДИФРАКЦИИ СВЕТОВОЙ ВОЛНЫ НА УЛЬТРАЗВУКЕ

Препринт № 352

«СИТРОЛЫНЫИ ЭКЗЕМПЛЯР»

Минск 1984

57.659

ОРДЕНА ТРУДОВОГО КРАСНОГО ЗНАМЕНИ

ИНСТИТУТ ФИЗИКИ

АКАДЕМИИ НАУК БЕЛОРУССКОЙ ССР

Б.В.Бокутъ, Н.А.Хилло, П.А.Хилло

ГЕНЕРАЦИЯ ВТОРОЙ ОПТИЧЕСКОЙ ГАРМОНИКИ ПРИ  
ДИФРАКЦИИ СВЕТОВОЙ ВОЛНЫ НА УЛЬТРАЗВУКЕ

Препринт № 352

1999-

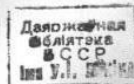
Минск 1984

УДК 535.3.

Рассмотрены особенности генерации второй оптической гармоники при дифракции одной из волн (основной или удвоенной частоты) на ультразвуке. Получены модифицированные условия фазового синхронизма, включающие параметры акустооптического взаимодействия. Показана возможность модуляции излучения второй оптической гармоники и коррекции угла фазового синхронизма изменением интенсивности ультразвуковой волны. Проведен сравнительный анализ эффективности генерации второй гармоники в условиях выполнения обычных и модифицированных условий фазового синхронизма.

ПЕЧАТАЕТСЯ ПО РЕШЕНИЮ РИСО ИФ АН БССР

(c) ИНСТИТУТ ФИЗИКИ АН БССР



57659

## ВВЕДЕНИЕ

В работе рассмотрены особенности генерации второй гармоники (ГВГ) в кристаллах в условиях, когда одна из световых волн (основной или удвоенной частоты) испытывает дифракцию на ультразвуке. Рассмотрение проведено для таких кристаллов (направлений в кристаллах), в которых обычные условия синхронизма не выполняются, а также для кубических кристаллов с аномально большими коэффициентами нелинейной восприимчивости (напр.,  $GaAs$ ,  $GaSb$  и др.). Показано, что применение акустооптического взаимодействия в процессе нелинейного преобразования частоты лазерного излучения позволяет компенсировать фазовое рассогласование, обусловленное частотной дисперсией среды. Получены модифицированные условия фазового синхронизма, включающие параметры акустооптического взаимодействия. Показана возможность модуляции амплитуды второй оптической гармоники излучения лазера и коррекции угла фазового синхронизма в кристаллах посредством акустооптического управления волновой расстройкой при ГВГ. В приближении заданного поля световой волны основной частоты получены аналитические выражения для амплитуд поля второй гармоники при наличии акустооптического взаимодействия и для заданного рассогласования показателей преломления  $\Delta n$  найдено значение мощности ультразвуковой волны, при которой проходит компенсация фазового рассогласования и возрастание эффективности нелинейного процесса.

### § I. ГВГ при коллинеарной дифракции световой волны на стоячей ультразвуковой волне

Для определенности рассмотрим процесс ГВГ в кристаллах тригональных классов (напр.,  $LiNbO_3$ ), у которых возможна коллинеарная дифракция при распространении световой и ультразвуковой волн в направлении перпендикулярном оптической оси. Считаем, что стоячая ультразвуковая волна возникает при отражении поперечной акустической волны, распространяющейся в направлении оси  $X_3$ , от противоположной грани кристаллов

$$\vec{U} = \frac{i}{\lambda} \chi_0 \vec{E}_1 [ \exp(i(\vec{k}_y - \vec{q}_t) + \exp(-i(\vec{k}_y + \vec{q}_t)) + \text{к.с.} ] ,$$

где  $A_0$ ,  $\chi$ ,  $\omega$  - амплитуда, волновое число и частота ультразвуковой волны,  $\vec{e}$  - единичный вектор поляризации, совпадающий с направлением оси  $X$ , а падающая световая волна поляризована как необыкновенная.

Система укороченных уравнений для комплексных амплитуд проходящей и дифрагировавшей волн имеет вид

$$\begin{aligned}\frac{dA_e}{dy} &= -\frac{\beta_1}{4}(A_{0z} + A_{0s}) \exp(-iqy), \\ \frac{dA_{0z}}{dy} &= \frac{\beta_2}{4} A_e \exp(iqy),\end{aligned}\quad (1)$$

где  $A_e$  - амплитуда проходящей световой волны частоты  $\omega$ ,  $A_{0z}$  - амплитуда дифрагировавших обыкновенных волн с частотами  $\omega \pm \omega$ ,  $\beta_{1,2} = \omega^4 \epsilon_0 \epsilon_r \rho_{34} U_0 X / c^4 k_{e,0}$ ,  $\rho_{34}$  - Фотоупругая постоянная, ответственная за акустооптическое взаимодействие,  $q = k_e - k_0 - \chi$  - волновая реостройка при коллинеарной дифракции.

Решения системы (1) с учетом граничных условий  $A_e(0) = A$ ,  $A_{0z}(0) = 0$  имеют вид

$$\begin{aligned}A_e &= \frac{A \exp(-i\eta y/2)}{2(\eta^2 + q^2)^{1/2}} \left\{ \left[ (\eta^2 + q^2)^{1/2} + \eta \right] \exp[i(\eta^2 + q^2)^{1/2} y] + \left[ (\eta^2 + q^2)^{1/2} - \eta \right] \exp[-i(\eta^2 + q^2)^{1/2} y] \right\}, \\ A_{0z} &= \frac{-i\beta_2 A}{4(\eta^2 + q^2)^{1/2}} \left\{ \exp[i(\eta^2 + q^2)^{1/2} y] - \exp[-i(\eta^2 + q^2)^{1/2} y] \right\},\end{aligned}\quad (2)$$

где  $q^2 = \frac{1}{2} \beta_1 \beta_2$ . Как видно из (2) амплитуда поля на основной частоте осциллирует по мере распространения волны в кристалле из-за перекачки энергии между проходящей и дифрагировавшими волнами. При этом период осцилляций зависит как от величины реостройки волновых векторов  $q$ , так и от амплитуды акустической волны и фотоупругих свойств среды. Рассмотрим влияние этих осцилляций на ГБГ дифрагировавшими волнами. Процесс нелинейного преобразования частот подчиняется укороченному уравнению

$$\frac{dA_e^{4\omega}}{dy} = \frac{i\delta\omega^2 \chi_{34} \beta_2^2 A^4}{4c^4 (\eta^2 + q^2)^2 k_e^{4\omega}} \left[ \exp[i(\eta^2 + q^2)^{1/2} y] - 2 + \exp[-i(\eta^2 + q^2)^{1/2} y] \right] \exp(iqy) \exp(-idqy), \quad (3)$$

где  $\chi_{34}$  - компонента тензора нелинейной восприимчивости,  $\delta K = k_e^{4\omega} - ik_0 \omega$  - волновая реостройка. Аналогичные уравнения получаются и для волны с частотами  $\omega \pm 2\omega$ ,  $\omega \pm \omega$ . Уравнение (3) имеет несколько резонансных решений, соответствующих различным экспонентам правой части. Например, при выполнении одного из условий

$$q \pm (\eta^2 + q^2)^{1/2} - \delta K = 0, \quad q - \delta K = 0 \quad (4)$$

амплитуда волны частоты  $4\omega$  будет содержать линейно возрастающее с длиной взаимодействия слагаемое. Следовательно, соотношения (4) можно назвать модифицированными условиями фазового синхронизма. Рассмотрим подробнее некоторые частные случаи:

а) коллинеарная дифракция световой волны основной частоты на акустической волне происходит в условиях пространственного синхронизма  $q = 0$ . Тогда уравнение (3) принимает вид

$$\frac{dA_e^{4\omega}}{dy} = \frac{i\delta\omega^2 \chi_{34} \beta_2^2 A^4}{4c^4 q^2 k_e^{4\omega}} \left[ \exp(iqy/2) - \exp(-iqy/2) \right]^2 \exp(-idqy). \quad (5)$$

При выполнении одного из условий

$$\delta K \pm q = 0 \quad (6)$$

из уравнения (5) с учетом граничного условия  $A_e^{4\omega}(0) = 0$  следует

$$A_e^{4\omega}(t) = \frac{i\delta\omega^2 \chi_{34} \beta_2^2 A^4 t}{4c^4 q^2 k_e^{4\omega}} \left[ \exp(iqts) \cos qt - 2 \exp(-iqts) \sin qt + 1 \right], \quad (7)$$

где  $qts \equiv \eta \pi x/c$ . При значительных длинах взаимодействия осциллирующими членами в (7) можно пренебречь и выражение для комплексной амплитуды волны второй гармоники примет вид

$$A_e^{4\omega}(t) = \frac{i\delta\omega^2 \chi_{34} \beta_2^2 A^4 t}{2c^4 \beta_1 k_e^{4\omega}}.$$

Из (6) находим величину расогласования показателей преломления  $\Delta n = n_e^{4\omega} - n_0^{4\omega}$ , которая может быть компенсирована при ГБГ за счет акустооптического взаимодействия

$$\Delta n = \frac{\delta E}{2\Gamma_2 (n_0^{4\omega} n_e^{4\omega})^{1/2}}. \quad (8)$$

Используя (8) и известную связь между акустической мощностью и амплитудой деформации [1] получим выражение для интенсивности акустической волны, необходимой для компенсации фазового рассогласования

$$\frac{P_0}{S} = \frac{4 n_e^{\omega} \eta_e^{\omega} \Delta n^4 \rho v^3}{\epsilon_0^2 \epsilon_e^2 \rho_{56}^2}, \quad (9)$$

где  $\rho$  - плотность кристалла,  $v$  - фазовая скорость упругой волны,  $S$  - площадь пьезопреобразователя. Из сравнения (8) с аналогичным соотношением работ [2] следует, что величина рассогласования показателей преломления  $\Delta n$ , которая может быть компенсирована за счет дифракции на отягач акустической волны в  $\sqrt{2}$  раз больше, чем в случае дифракции на бегущей волне той же интенсивности. Оценка интенсивности акустической волны, согласно (9), при  $\Delta n = 1 \cdot 10^{-4}$ ,  $\rho_{56} = 0,3$ ,  $n_0 = 2,24$ ,  $\eta_e = 2,16$ ,  $v = 3,93 \cdot 10^3 \text{ м/с}$ ,  $\lambda_{\text{вс}} = 1,08 \cdot 10^{-6} \text{ м}$  дает  $\frac{P_0}{S} = 11 \text{ Вт/м}^2$ ;

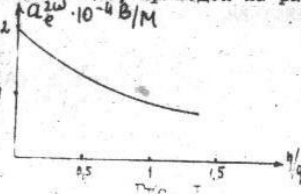
б) выполняется условие  $\gamma - \Delta k = 0$ . В приближении заданного поля световой волны основной частоты получим дифференциальное уравнение для комплексной амплитуды волны второй гармоники

$$\frac{d A_e^{2\omega}}{dy} = \frac{i \omega^2 \chi_{311} \beta_e^2 \delta^2}{2 c^2 \epsilon_e^2 (\gamma^2 + \beta_e^2)} [\cos(\gamma^2 + \beta_e^2) y^2 - 1].$$

Выполняя интегрирование по длине нелинейного кристалла  $\ell$  получим

$$A_e^{2\omega}(\ell) = \frac{i \omega^2 \chi_{311} \beta_e^2 \delta^2}{2 c^2 \epsilon_e^2 (\gamma^2 + \beta_e^2)} [\sin(\gamma^2 + \beta_e^2) \frac{\ell}{2} - 1]. \quad (10)$$

Как следует из (10), амплитуда волны второй гармоники зависит в этом случае от соотношения параметров  $\gamma$  и  $\beta_e$ . График зависимости амплитуды  $A_e^{2\omega}(\ell) / |A_e^{2\omega}(0)|$  при заданной величине  $\Delta k$  и  $\gamma_e^{\omega} = 1,5 \cdot 10^2 \text{ рад/м}$ ;  $\ell = 2 \cdot 10^{-2} \text{ м}$ ;  $\lambda = 1,06 \text{ мкм}$ ;  $n_0^{\omega} = 2,24$ ;  $\eta_e^{\omega} = 2,15$ ;  $\epsilon_e^{\omega} = 2,25$ ;  $\chi_{311} = 5,8 \cdot 10^{-12} \text{ м/с}$ ;  $\delta = 2 \cdot 10^5 \text{ В/м}$ , приведен на рис. I.



Из графика видно, что при заданных выше параметрах кристалла осциллирующее слагаемое в (10) практически не сказывается на

ГВГ и эффективность монотонно возрастает с увеличением мощности ультразвуковой волны;

в) выполняется условие  $(\gamma^2 + \beta_e^2)^{1/2} + \gamma - \Delta k = 0$ . Тогда выражение для комплексной амплитуды волны второй гармоники принимает вид

$$A_e^{2\omega}(\ell) = \frac{i \omega^2 \chi_{311} \beta_e^2 \delta^2 \ell}{2 c^2 (\gamma^2 + \beta_e^2)^{1/2} \epsilon_e^2 \ell_e^2},$$

в интенсивность акустической волны, необходимую для компенсации фазового рассогласования определяется соотношением

$$\frac{P_0}{S} = \frac{4 \Delta n \left( \frac{\omega}{c} \Delta k - \gamma \right) n_0^{\omega} \eta_e^{\omega} \rho v^3}{\epsilon_0^2 \epsilon_e^2 \rho_{56}^2}. \quad (II)$$

Примем, что  $\gamma = \Delta k / 4$ , тогда из (II) получим

$$\frac{P_0}{S} = \frac{2 \Delta n^4 n_0^{\omega} \eta_e^{\omega} \rho v^3}{\epsilon_0^2 \epsilon_e^2 \rho_{56}^2},$$

то есть интенсивность акустической волны может быть уменьшена в два раза по сравнению со случаем отсутствия рассстройки при коллинеарной дифракции. Амплитуда волны второй гармоники убывает при этом незначительно

$$A_e^{2\omega}(\gamma) / A_e^{2\omega} = \sqrt{\gamma^2 + \beta_e^2} = 0,9,$$

где  $A_e^{2\omega}(\gamma)$  - амплитуда волны второй гармоники при наличии рассстройки.

## § 2 ГВГ при коллинеарной дифракции на ультразвуковой волне в оптически гиротропных кристаллах

Известно, что в оптически гиротропных кристаллах получение фазосогласованной генерации второй гармоники за счет гиротропии затруднительно, так как типичная величина  $\Delta k / \rho \sim 10$  [3]. Представляется целесообразным исследовать возможность компенсации фазового рассогласования в таких кристаллах за счет акусто-оптического взаимодействия. Особенностью гиротропных кристаллов является то, что в них возможно акустооптическое взаимодействие

при распространении волн вдоль оптической оси [4]. Частота упругой волны, удовлетворяющая условию пространственного синхронизма в гиротропной кристалле

$$f = \frac{v n_0^2 G_{33}}{\lambda} \quad (I2)$$

низкая и, например, для кварца при  $\lambda = 510$  нм,  $G_{33} = 13 \cdot 10^{-5}$ ,  $v = 4,68 \cdot 10^3$  м/с,  $n_0 = 1,55$  порядка 4,2 МГц, что позволяет пренебречь влиянием акустической гиротропии. В (I2)  $G_{33}$  — компонента псевдотензора оптической активности.

При рассмотрении коллинеарной дифракции считаем, что плоская поперечная акустическая волна,

$$\vec{U} = \frac{1}{2} U_0 \vec{e}_1 \exp(i(\omega t - kx)) + \text{к.с.}$$

распространяющаяся вдоль оси  $x_3$ , вызывает изменение тензора диэлектрической проницаемости

$$\delta\epsilon_{ij} = -\epsilon_{ik} \epsilon_{jl} \rho_{klmn} \mathcal{U}_{ml},$$

где  $\epsilon_{pq}$  — диэлектрическая проницаемость кристалла в отсутствие акустической волны,  $\mathcal{U}_{ml} = \frac{1}{2} (\frac{\partial U_m}{\partial x_n} + \frac{\partial U_n}{\partial x_m})$ ,  $\rho_{klmn}$  — компоненты тензоров деформаций и фотоупругих постоянных соответственно. Полагая, что падающая световая волна циркулярно поляризована влево (вправо)

$$\vec{E} = \frac{1}{2} A_- (\vec{e}_1 - i\vec{e}_2) \exp(i(\omega t - kx)) + \text{к.с.}$$

где  $k_- = k - \rho$ ,  $\rho$  — удельное вращение плоскости поляризации, получим систему укороченных уравнений для проекций амплитуд, проходящей  $A_-^y$  и дифрагированной  $A_+^x$  волн

$$\begin{aligned} \frac{dA_+^x(z)}{dz} &= \frac{i d^2 A_+^x(z)}{4(k_- + K)} - \frac{i \beta A_+^y(z)}{4(k_- + K)}, \\ \frac{dA_+^y(z)}{dz} &= -i \beta A_+^x(z). \end{aligned} \quad (I3)$$

Система уравнений для проекций  $A_+^x$  и  $A_+^y$  получается из (I3) заменами  $A_+^x \rightarrow A_-^y$ ,  $A_-^y \rightarrow A_+^x$ . Решение системы (I3) с учетом граничных условий  $A_+^{x,y}(0) = A_-^{x,y}$ ,  $A_+^{x,y}(l) = 0$  имеет вид

$$A_+^x = \frac{\beta A_-^y}{8(k_- + K)} \exp(i\omega z) [\exp(i\omega z) - \exp(-i\omega z)], \quad A_+^y = i A_+^x, \quad (I4)$$

$$A_+^x = \frac{1}{2} [\exp(i\omega z) - i \exp(i\omega z) - (1 + \frac{\rho}{K}) \exp(i\omega z)] \exp(i\omega z), \quad A_+^y = i A_+^x.$$

8

Таким образом дифрагированная волна оказывается поляризованной вправо (влево). В (I4)  $\rho = \omega^2/8(K_- + K)$ ,  $\beta = \omega^2/8(K_- + K) [1 + \frac{4\rho^2}{(K_- + K)}]^{1/2}$  — характеризует расстройку условий пространственного синхронизма при дифракции.

Рассмотрим особенности ГБГ в условиях, когда циркулярно поляризованная световая волна основной частоты дифрагирует на ультразвуковой волне. Для этого запишем укороченные уравнения для проекций  $A_x$ ,  $A_y$  амплитуды волны частоты  $\omega + \Delta\omega$

$$\frac{dA_x}{dz} = \frac{i \omega^2 \chi_{lm} \beta A_-^x \exp(i\omega z)}{8c^2 (k_- + K)^2 \beta^2} [\exp(i\omega z - 2 + i\Delta\omega z) - \exp(-i(\omega - \Delta\omega)z)], \quad (I5)$$

$$\frac{dA_y}{dz} = -i \frac{dA_x}{dz},$$

где  $\Delta\omega = K^{4\omega+2\Delta\omega} - K^{4\omega+2\Delta\omega}$ . При выполнении одного из условий

$$\begin{aligned} -\Delta\omega + \Delta\theta + 2\rho \pm 2\varphi &= 0, \\ -\Delta\omega + \Delta\theta + 2\rho &= 0 \end{aligned} \quad (I6)$$

амплитуда волны второй гармоники содержит линейно возрастающее с длиной взаимодействия слагаемое (см. также (4)) как и в условиях пространственного синхронизма. Последнее означает, что соотношения (I6) являются модифицированными условиями фазового синхронизма, содержащими помимо параметра оптической активности  $\beta$  слагаемые  $\rho \pm \varphi$ , определяемые акустооптическим взаимодействием. Таким образом использование коллинеарной дифракции позволяет скомпенсировать расстройку фазовых скоростей и увеличить эффективность нелинейного процесса в оптически гиротропных кристаллах.

В случае выполнения условия пространственного синхронизма при коллинеарной дифракции ( $\Delta\omega = 0$ ) из (I6) получим

$$-\Delta\omega + \Delta\theta \pm 2\varphi = 0, \quad (I6a)$$

$$-\Delta\omega + \Delta\theta = 0. \quad (I6b)$$

Соотношение (I6b), как указывалось выше, не может быть выполнено, поэтому проанализируем подробнее условие (I6a).

Проекции амплитуд волны второй гармоники находим интегрируя

(I5) по длине взаимодействия  $\ell$ . Влияние оптической, макрото, может

$$A_x = \frac{i\Gamma\omega^2\chi_{ii}\beta^2 A^2 \ell}{8\Gamma c^2 K_0^2 q^2 K^{2\omega+2\ell}} [\exp(-i\omega\ell)\sin\omega\ell - 2\exp(i\omega\ell)\cos\omega\ell + 1], A_y = iA_x$$

При значительных длинах взаимодействия осциллирующими членами можно пренебречь. Тогда

$$A_x = \frac{i\Gamma\omega^2\chi_{ii}\beta^2 A^2 \ell}{8\Gamma c^2 K_0^2 q^2 K^{2\omega+2\ell}}, A_y = iA_x$$

Величина рассогласования показателей преломления  $\delta n$ , которая может быть компенсирована в оптически активных средах определяется из соотношения (при  $d\rho/dk = 0, I$ )

$$\delta n = \frac{\Delta\epsilon}{3.6(n_0)^{1/2}},$$

где  $\Delta\epsilon$  — максимальное изменение диэлектрической проницаемости кристалла, вызванное ультразвуковой волной.

### § 3 Эффективность ГБГ при выполнении модифицированных условий фазового синхронизма в условиях коллинеарной дифракции на ультразвуке

Было показано на ряде примеров (см. также [2]), что эффективность процесса ГБГ при наличии дифракции на ультразвуковой волне, определяется модифицированными условиями синхронизма. Представляет интерес сравнительный анализ эффективности ГБГ при выполнении обычных условий синхронизма в отсутствие ультразвука и модифицированных условий синхронизма.

Считаем для определенности, что волна второй гармоники генерируется в условиях коллинеарной дифракции световой волны основной частоты на поперечной ультразвуковой волне, распространяющейся вдоль оси  $X_2$  кристалла  $\text{LiNbO}_3$ . Система укороченных уравнений для амплитуд проходящих  $A_o$  и дифрагировавших  $A_e$  волн в этом случае имеет вид

$$\frac{dA_o(y)}{dy} = -\frac{\omega^2 \epsilon_0 \epsilon_r \rho_{36} U_0 X}{4c^2 k_0} A_e(y), \quad (I7)$$

$$\frac{dA_e(y)}{dy} = \frac{\omega^2 \epsilon_0 \epsilon_r \rho_{36} U_0 X}{4c^2 k_0} A_o(y),$$

где  $\rho_{36}$  — фотоупругая постоянная, ответственная за акустооптическое взаимодействие. Решение системы (I7) с учетом граничных условий  $A_o(0) = A$ ,  $A_e(0) = 0$  следующее

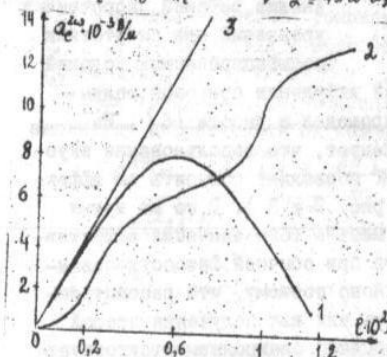
$$A_o = \frac{A}{2} [\exp(i\omega\ell) + \exp(-i\omega\ell)],$$

$$A_e = -\frac{iA}{2} [\exp(i\omega\ell) - \exp(-i\omega\ell)],$$

где  $\rho = \omega^2 \epsilon_0 \epsilon_r \rho_{36} U_0 X / 4c^2 k_0$ . Для вещественной амплитуды волны второй гармоники в случае, когда она генерируется проходящей и дифрагировавшей волнами при скалярном  $\partial\rho/\partial k$  взаимодействии, получим

$$a_e^{2\omega}(\ell) = \frac{d\omega^2\ell}{2} [\sin^2(2\rho - \alpha k)/2 + \sin^2(2\rho + \alpha k)/2 - 2\sin(2\rho - \alpha k)\sin(2\rho + \alpha k)/2]$$

$$\text{где } \alpha k = K_e^{2\omega} - K_0^{2\omega} - K_e^{2\omega+2\ell}, \quad d = 48\omega^2 \rho_{36} U_0 X / c^2 k_0^{2\omega+2\ell}$$



На рис. 2 представлены зависимости амплитуды волны второй гармоники от длины взаимодействия  $\ell$ . Графики (1), (3) соответствуют ГБГ в отсутствие акустооптического взаимодействия при  $\alpha k = 5 \text{ cm}^{-1}$ ,  $\alpha k = 0$ . График (2) — ГБГ при выполнении модифицированного условия синхронизма  $(2\rho - \alpha k) = 0$ .

В случае коллинеарной дифракции волны удвоенной частоты на ультразвуке для амплитуд проходящей и дифрагировавшей волн при выполнении модифицированных условий синхронизма получим соответственно

$$a_e^{2\omega}(\ell) = \frac{d\omega^2\ell}{2} (1 + \sin^2 \alpha k \ell + 2\alpha k \cos \alpha k \ell)^{1/2},$$

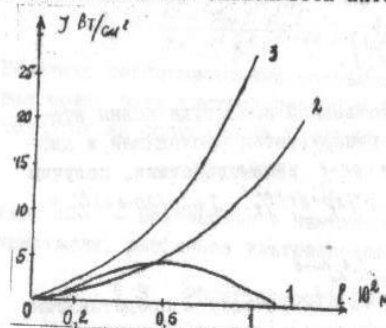
$$a_o^{2\omega}(\ell) = \frac{d\omega^2\ell}{2} \sqrt{\frac{\rho_1}{\rho_2}} (1 + \sin^2 \alpha k \ell - 2\alpha k \cos \alpha k \ell \cos \alpha k \ell)^{1/2}$$

Учитывая, что проходящая и дифрагировавшая на ультразвуке волны

второй гармоники поляризованы во взаимно перпендикулярных плоскостях, суммарная интенсивность этих волн равна

$$J = J_e + J_o = \frac{c \omega^2 \alpha^4 l^2}{32 \pi n_e} \left[ (n_0^2 + n_e^2) / (1 + \sin^2 \alpha k l) + 2 \sin \alpha k l / (n_e^2 - n_0^2) \right].$$

На рис. 3 показаны зависимости интенсивности волны удвоенной



частоты от длины взаимодействия  $l$ . Кривые (1), (3) соответствуют ГНГ в отсутствие дифракции на ультразвуке при  $\Delta K = 50 \text{ м}^{-1}$ ,  $\Delta K = 0$ . Кривая (2) - ГВГ при выполнении модифицированного условия синхронизма ( $2P - \Delta K$ ) = 0. Анализ решений укороченных уравнений при отсутствии модифицированных условий

фазового синхронизма при брагговской дифракции световой волны удвоенной частоты на ультразвуковом волне проведён в работе [6]. Из приведенных на рис. 2, 3 графиков следует, что использование акустооптического взаимодействия при ГВГ позволяет повысить её эффективность (сравните кривые (2) и (1), рис. 2 и 3). В то же время эффективность нелинейного процесса меньше того значения эффективности, которое может быть достигнуто при обычной фазосогласованной ГНГ (кривые (3), рис. 2 и 3). Ясно поэтому, что рассмотренный эффект целесообразно использовать или для получения второй гармоники в кристаллах, в которых обычный синхронизм отсутствует или для целей модуляции излучения второй гармоники.

#### § 4 Акустооптическая модуляция лазерного излучения при ГВГ

Рассмотрим вопрос о модуляции амплитуды второй гармоники излучения лазера, осуществляемый посредством акустооптического управления волновой рестройкой при генерации второй гармоники в кристаллах.

Сущность метода поясним на конкретном примере ГВГ в условиях коллинеарной дифракции волны удвоенной частоты на ультразвуковой волне, распространяющейся вдоль оси кристалла тригональной симметрии (см. также [2]). Соответствующая система укороченных уравнений имеет вид

$$\begin{aligned} \frac{dA_e^{2\omega}(y)}{dy} &= i\alpha A_0^{2\omega} \exp(-iky) - \beta_1 A_0^{2\omega}(y), \\ \frac{dA_0^{2\omega}(y)}{dy} &= \beta_2 A_e^{2\omega}(y), \end{aligned} \quad (18)$$

где  $A_e^{2\omega}$ ,  $A_0^{2\omega}$  - амплитуда прошёлпей и дифрагированной волн волны второй гармоники,  $A_0^{2\omega}$  - амплитуда волны основной частоты,  $\alpha = 4\pi c K_0^2 / K_{2\omega}$ ,  $\beta_{1,2} = K_0^2 \epsilon_0 \epsilon_r \rho_{2\omega} U_0 K / K_{2\omega}$ ,  $\chi$ ,  $\rho_{2\omega}$  - эффективная нелинейная восприимчивость и фотоупругая постоянная,  $\epsilon_0$ ,  $\epsilon_r$  - главные значения тензора диэлектрической проницаемости,  $U_0$ ,  $K$  - амплитуда и волновое число ультразвуковой волны,  $K_{2\omega} = 2K_0 \eta_{e,0}^{2\omega}$ ,  $K_0 = \omega/c$ .

Решая уравнения (18) в приближении заданного поля находим амплитуду дифрагированной волны

$$A_0^{2\omega}(z) = |A_0^{2\omega}(z)| = \frac{\alpha a^2 l}{2} \sqrt{\frac{\beta_2}{\beta_1}} \left[ \sin^2 \alpha k z / 2 + \right. \\ \left. + \sin^2 \alpha k z / 2 - 2 \sin \alpha k z / 2 \sin \alpha k z / 2 \cos \alpha k z / 2 \right]^{1/2}, \quad (19)$$

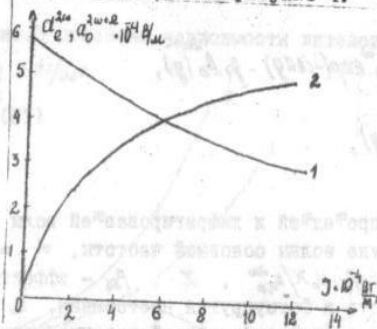
$$a = |A_0^{2\omega}|, \quad \Delta K \pm = \Delta K \pm P, \quad P = K_0 (\eta_{e,0}^{2\omega})^{1/2} / (J/2\rho V^3)^{1/2},$$

$J$  - интенсивность ультразвуковой волны,  $V$  - её фазовая скорость,  $\rho$  - плотность кристалла,  $a$  - амплитуду прошёлпей волны

$$a_e^{2\omega}(z) = \frac{\alpha a^2 l}{2} \left[ \left( \sin \alpha k z / 2 \cos \alpha k z / 2 + \sin \alpha k z / 2 \cos \alpha k z / 2 \right)^2 + \right. \\ \left. + (\alpha k l)^2 \sin^2 \alpha k z / 2 \sin^2 \alpha k z / 2 \right]^{1/2}. \quad (20)$$

Из выражений (19), (20) следует, что эффективность ГВГ в условиях акустооптического взаимодействия определяется, как уже отмечалось выше, "модифицированными" волновыми рестройками  $\Delta K \pm$ .

величиной которых можно управлять модулируя интенсивность ультразвука. Графики зависимости  $a_0^{\omega+\delta}$ ,  $a_e^{\omega}$  на выходе модулятора от величины  $J$  для  $\text{LiNbO}_3$  при  $a = 2 \cdot 10^5 \text{ В/м}$ ,  $\ell = 2 \cdot 10^{-2} \text{ м}$ ,  $\Delta K = 130 \text{ м}^{-1}$ ,  $\lambda = 1,06 \cdot 10^{-6} \text{ м}$ ,  $n_e^{\omega} = 2,23$ ,  $n_e^{\omega+\delta} = 2,31$ ,  $\rho_{\text{fg}} = 0,1$ ,  $\rho = 4,7 \cdot 10^3 \text{ кг/м}^3$ ,  $\vartheta = 3,83 \cdot 10^3 \text{ м/с}$ ,  $\chi = 5,8 \cdot 10^{-12} \text{ м/В}$  приведены на рисунке 4.

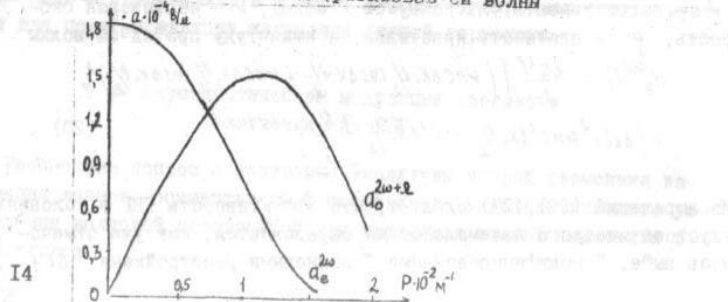


Линейные зависимости амплитуд проходящей (кривая 1) и дифрагированной волн (кривая 2) от интенсивности ультразвуковой волны показывают, что для целей модуляции необходимо использовать дифрагированную волну, минимум интенсивности которой определяется шумами, в максимум достигаеться уже при небольших плотностях мощности ультразвуковой волны.

Рассмотрим особенности модуляции амплитуды волны удвоенной частоты в условиях фазового синхронизма в отсутствие ультразвуковой волны, т.е. когда  $\Delta K = 0$ . Из (19), (20) получим

$$a_0^{\omega+\delta}(l) = \alpha \alpha' l \sqrt{\frac{\rho}{\beta_1}} \sin \varphi / \sqrt{\frac{\rho}{\beta_2}} \sin \varphi / \sqrt{\beta_2}, \quad a_e^{\omega}(l) = \alpha \alpha' l \sin \varphi.$$

На рисунке 5 предоставлены зависимости  $a_0^{\omega+\delta}$ ,  $a_e^{\omega}$  от параметра  $\rho$  при  $\alpha = 1 \cdot 10^5 \text{ В/м}$ ,  $\ell = 2 \cdot 10^{-2} \text{ м}$ ,  $\Delta K = 9,7 \cdot 10^5 \text{ м}^{-1}$ ,  $\beta_2/\beta_1 = 0,98$ . В этом случае может быть осуществлена 100% модуляция как проходящей, так и дифрагированной волн.



I4

Для разделения проходящей и дифрагированной волн необходимо использовать поляризационный анализатор. Предельная частота модуляции определяется временем пробега ультразвуком области акустооптического взаимодействия и в случае коллинеарной дифракции составляет величину  $\sim 0,2 \text{ МГц}$ .

### § 5 Коррекция угла фазового синхронизма в нелинейных кристаллах за счет акустооптического взаимодействия

Рассмотрение проведем на примере 90-градусного синхронизма в кристалле  $\text{LiNbO}_3$ . Световая волна основной частоты, поляризованная как обыкновенная, падает на нелинейный кристалл в направлении, отличающемся от направления 90-градусного синхронизма на некоторый малый угол  $\varphi$ , и генерирует вторую гармонику, которая дифрагирует на поперечной ультразвуковой волне, распространяющейся вдоль оси  $X_2$  кристалла. Процесс нелинейного преобразования частоты с учетом дифракции волны второй гармоники описывается системой уравнений (18). При этом  $\Delta = 4\pi K_0^2 z / K_{e0}^2 \cos \varphi$ ,  $\beta_{1,2} = K_0^2 E_0 E_F \rho_{\text{fg}} / K_{e0}^2 \cos \varphi$ . При

$$\Delta K = (\beta_1 \beta_2)^{1/2} \quad (21)$$

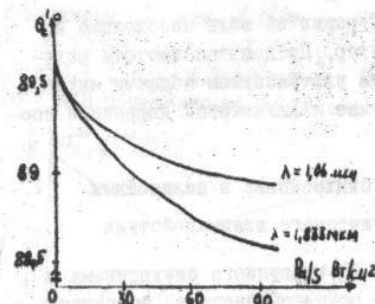
амплитуда волны второй гармоники содержит слагаемое, линейно возрастющее с длиной взаимодействия  $\ell$ , то есть имеет место модифицированный фазовый синхронизм. Связь акустически индуцируемого угла фазового синхронизма  $\theta_c'$  с параметрами акустооптического взаимодействия находится из соотношения (21) и в рассматриваемом случае имеет вид

$$\cos^2 \theta_c' = \frac{1}{2} \frac{(n_e^{\omega})^{1/2} E_0 E_F \rho_{\text{fg}} (\Delta P_0 / \rho \vartheta^2 S)^{1/2}}{(n_e^{\omega})^{1/2} [(n_e^{\omega})^2 - (n_e^{\omega+\delta})^2] \cos \varphi},$$

где  $P_0/S$  — интенсивность ультразвуковой волны. Зависимости угла  $\theta_c'$  от интенсивности ультразвуковой волны при генерации второй гармоники излучением неодимового лазера  $\lambda = 1,06 \text{ мкм}$  и лазера на  $\text{YAG Nd}^{3+}$  ( $\lambda = 1,833 \text{ мкм}$ ) в  $\text{LiNbO}_3$  приведены на рисунке 6.

I5

записанной линии, и это указывает на наличие акустооптического гибкого кристалла. График показывает



Как видно из рис. 6, достижимое изменение угла акустически индуцированного фазового синхронизма составляет  $\sim I + I,5^\circ$ . Очевидно, что можно получить такое же изменение угла и при отклонении в другую сторону на угол от направления 90-градусного синхронизма. Время

переотстройки определяется временем пробега ультразвуковой волны области акустооптического взаимодействия и при  $\ell = 2 \cdot 10^{-2}$  м составляет  $\sim 4$  мкс.

В заключении авторы выражают благодарность КАЗАКУ Н.С. за обсуждение результатов работы.

#### ЛИТЕРАТУРА

1. Магдич Л.Н., Молчанов В.Я. Акустооптические устройства и их применение. М.: Сов. радио, 1978г., 108 с.
2. Бокутъ Б.В., Хило Н.А., Кондратенко В.И., Хило П.А. Тезисы XI Всесоюзной конференции по когерентной и нелинейной оптике. Ереван, 1982 г., с. 557-558; ЛАН ЕССР, 1983, т.27, № 2, с. II4-II6.
3. Ахманов С.А., Ериков В.И. Письма в ЖЭТФ, 1967, т.6, № 5, с.644-648.
4. Сорока В.В. ФТТ, 1977, т.19, в.II, с. 3327-3331.
5. Fukuda Susumi, Ikeda Shinji, Shiosaki Tadashi, Kanabata Akira. J. Jap. Appl. Phys., v 18, Suppl. № 1, 1979, p. 413-419.
6. Белый В.Н., Казак Н.С., Миклавская Е.М., Сергиенко М.И. ЖСС, 1983, т. 39, в. 2, с. 216-220.

#### ОГЛАВЛЕНИЕ

	стр.
Введение.....	3
§ 1. ГБГ при коллинеарной дифракции световой волны на стоячей ультразвуковой волне.....	3-7
§ 2. ГБГ при коллинеарной дифракции на ультразвуковой волне в оптически гибкотропных кристаллах.....	7-10
§ 3. Эффективность ГБГ при выполнении модифицированных условий фазового синхронизма в условиях коллинеарной дифракции на ультразвуке.....	10-12
§ 4. Акустооптическая модуляция лазерного излучения при ГБГ.....	12-15
§ 5. Коррекция угла фазового синхронизма в нелинейных кристаллах за счет акустооптического взаимодействия.....	15-16
Литература.....	16

## О ГЛАВЛЕНИЕ

	стр.
Введение.....	3
§ 1. ГВГ при коллинеарной дифракции световой волны на стоячей ультразвуковой волне.....	3-8
§ 2. ГВГ при коллинеарной дифракции на ультразвуке в оптически гиротропных кристаллах.....	8-10
§ 3. Эффективность процесса ГВГ при наличии дифракции на ультразвуковой волне.....	11-13
§ 4. Акустооптическая модуляция лазерного излучения при ГВГ.....	13-15
§ 5. Коррекция угла фазового синхронизма в нелинейных кристаллах за счет акустооптического взаимодействия.....	16-17
Литература.....	17

БОКУТЬ БОРИС ВАСИЛЬЕВИЧ

ХИЛО НИКОЛАЙ АНАТОЛЬЕВИЧ

ХИЛО ПЕТР АНАТОЛЬЕВИЧ

## ГЕНЕРАЦИЯ ВТОРОЙ ОПТИЧЕСКОЙ ГАРМОНИКИ ПРИ ДИФРАКЦИИ СВЕТОВОЙ ВОЛНЫ НА УЛЬЗАЗВУКЕ



57659

Подписано к печати 29.II.84. АТ № 14472. Формат 60x90  
I/16. Тип бумаги типографская. Печать офсетная. Объем  
1,1 п.л., 0,65 уч.изд.л. Тираж 150. Заказ 486 . Бесплатно.

Институт физики АН БССР  
220602, Минск, ГСП, Ленинский пр., 70  
Отпечатано на ротапринте ИФ АН БССР